



CONCOURS CENTRALE-SUPÉLEC

# Chimie

PC

2023

4 heures

Calculatrice autorisée

## *Synthèses chimiques au laboratoire et dans l'industrie*

Ce sujet comporte deux parties indépendantes. La première propose d'étudier l'efficacité de la capture de dioxyde de carbone par une solution aqueuse d'éthanolamine et débute par la synthèse industrielle de l'éthanolamine. La deuxième porte sur une synthèse d'un diterpène, le (+/-)-Kempène-2, qui met en œuvre une réaction d'hydroboration dont la régiosélectivité, la stéréosélectivité et la cinétique sont étudiées au préalable.

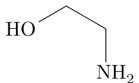
Les numéros entre crochets renvoient aux références bibliographiques situées en fin d'énoncé.

Toutes les données nécessaires sont regroupées à la fin du sujet.

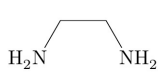
### I Les solutions aqueuses d'éthanolamine pour capturer le dioxyde de carbone

L'éthanolamine, également appelée monoéthanolamine ou 2-aminoéthanol en nomenclature systématique, est un liquide toxique, inflammable, corrosif, incolore et visqueux dont l'odeur est similaire à celle de l'ammoniac.

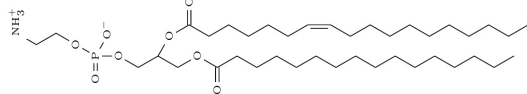
L'éthanolamine est un ingrédient de base dans la production de savons, détergents, émulsifiants, vernis, inhibiteurs de corrosion, etc. Elle est aussi un intermédiaire chimique, car, par exemple, par réaction avec l'ammoniac, elle conduit à l'éthylénediamine qui est un agent chélateur courant. L'éthanolamine est aussi un additif fréquemment utilisé en cosmétique. Elle intervient, au niveau biologique, dans les groupes de tête hydrophiles des phospholipides qui constituent les membranes cellulaires ; en effet, l'éthanolamine s'associe par estérification au groupe glycéro 3-phosphate fixé à l'extrémité de l'acide gras constituant la partie apolaire du phospholipide. Les solutions aqueuses d'éthanolamine, solutions basiques, permettent de fixer des gaz acides comme le sulfure d'hydrogène et le dioxyde de carbone.



éthanolamine



éthylénediamine



phospholipide à tête polaire

Figure 1

#### I.A – Synthèse industrielle de l'éthanolamine

La synthèse industrielle de l'éthanolamine est réalisée en réacteur ouvert, alimenté d'une part par de l'oxyde d'éthylène et d'autre part par un mélange eau-ammoniac. Dans cette sous-partie sont abordées successivement la synthèse de l'oxyde d'éthylène, la dissolution de l'ammoniac dans l'eau puis l'étude de l'unité de synthèse de l'éthanolamine.

##### I.A.1) Synthèse de l'oxyde d'éthylène

Plus de 20 millions de tonnes d'oxyde d'éthylène sont synthétisées annuellement à partir d'éthylène partiellement oxydé par le dioxygène à une température comprise entre 220 et 280 °C et sous une pression de 1 à 3 MPa. En France, seule l'entreprise Ineos Chemicals Lavera produit de l'oxyde d'éthylène avec une capacité de production de 220 000 tonnes par an. La synthèse est modélisée par la réaction d'équation :



Les deux réactifs doivent avoir une pureté d'au moins 99,5 % et un catalyseur solide à base d'argent dispersé sur de l'alumine alpha poreuse est nécessaire.

**Q 1.** Justifier la valeur de l'enthalpie standard de formation de  $\text{O}_2(\text{g})$ .

**Q 2.** En s'appuyant sur une étude thermodynamique précise, commenter les conditions industrielles de température et de pression mise en place lors de la synthèse de l'oxyde d'éthylène. (La justification par l'utilisation de lois de modération ne sera pas acceptée.)

Un métal extrêmement divisé est nécessaire. La surface spécifique du catalyseur est de l'ordre de  $10 \text{ m}^2$  par gramme.

**Q 3.** Sachant que l'argent cristallise en réseau cubique faces centrées, déterminer la valeur de la surface d'un cube d'argent pur de masse 1 gramme. Commenter.

#### I.A.2) Dissolution de l'ammoniac dans l'eau

Le diagramme binaire d'équilibre liquide-vapeur du système ammoniac-eau sous une pression de 1 bar est donné en figure 2.

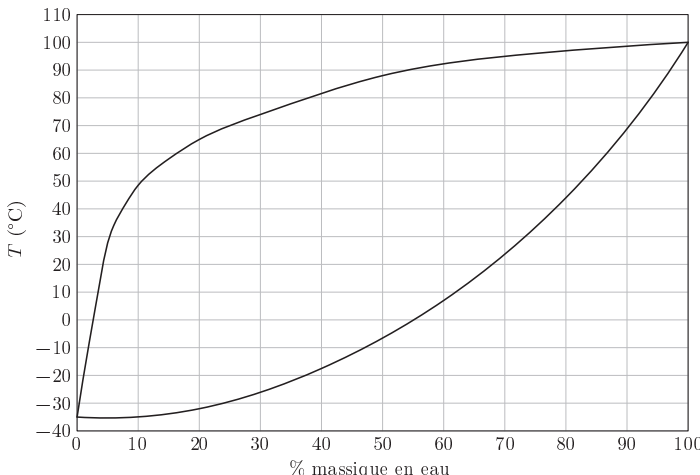


Figure 2 Diagramme d'équilibre isobare du mélange binaire ammoniac-eau à une pression de 1 bar

Il ne sera pas tenu compte des propriétés basiques de l'ammoniac.

**Q 4.** Préciser la nature des phases présentes dans les différents domaines du diagramme. Nommer les courbes limitant les domaines et préciser les informations qu'elles peuvent fournir.

**Q 5.** Tracer l'allure de la courbe d'analyse thermique obtenue lors du refroidissement isobare à flux thermique constant d'un système de composition massique égale à 70 % en eau, initialement à l'état gazeux. Déterminer et interpréter le nombre de degré de liberté pour le système biphasé.

**Q 6.** Déterminer la masse maximale d'ammoniac pouvant être dissoute dans 1000 g d'eau à 20 °C sous une pression de 1 bar. Justifier, à partir de l'allure du diagramme binaire, si cette dissolution est endothermique ou exothermique.

#### I.A.3) Unité industrielle de synthèse de l'éthanamine

La synthèse de l'éthanamine est effectuée sous une pression totale de 70 bars dans un réacteur continu dans lequel le mélange est un liquide homogène (figure 3). Les températures et débits d'entrée et de sortie sont précisés dans le tableau 1.

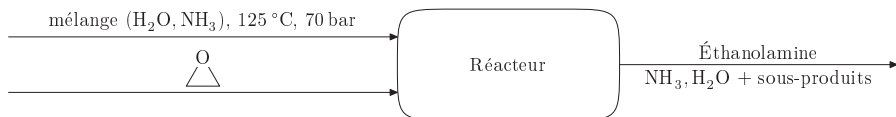


Figure 3

La température d'ébullition de l'eau sous une pression de 70 bar vaut 285 °C. L'enthalpie standard de vaporisation de  $\text{NH}_3(1)$  vaut, à 298 K, 20 kJ·mol<sup>-1</sup>.

**Q 7.** En précisant les hypothèses faites, montrer que le mélange eau-ammoniac qui alimente le réacteur est bien liquide dans les conditions de la synthèse.

**Q 8.** Préciser l'équation de réaction modélisant la transformation chimique ayant lieu dans le réacteur. Déterminer si la transformation mise en jeu dans le réacteur est totale ou non.

	Entrée	Sortie
Température (°C)	125	—
Débit massique ( $\text{kg} \cdot \text{h}^{-1}$ )	20 000	20 000
Débit en quantité de matière en $\text{NH}_3$ ( $\text{kmol} \cdot \text{h}^{-1}$ )	790	690
Débit en quantité de matière en $\text{H}_2\text{O}$ ( $\text{kmol} \cdot \text{h}^{-1}$ )	140	140
Débit en quantité de matière en oxyde éthylène ( $\text{kmol} \cdot \text{h}^{-1}$ )	100	$\approx 0$
Débit en quantité de matière en éthanolamine ( $\text{kmol} \cdot \text{h}^{-1}$ )	0	$\approx 100$

**Tableau 1** Caractéristique du réacteur [7]

On peut, en première approximation, considérer la capacité thermique moyenne du mélange constante égale à  $C_{\text{moy}} \approx 5 \text{ kJ} \cdot \text{K}^{-1} \cdot \text{kg}^{-1}$ . L'évolution du système au sein du réacteur est adiabatique et le régime est permanent. L'enthalpie standard de réaction est  $-55 \text{ kJ} \cdot \text{mol}^{-1}$ .

**Q 9.** Déterminer la valeur de la température de sortie du réacteur. Commenter.

« The objective of this project is to design the most efficient and most versatile<sup>1</sup> system of reactors for a plant converting ammonia and ethylene oxide into ethanolamines. The three ethanolamines produced in this process are monoethanolamine (MEA), diethanolamine (DEA), and triethanolamine (TEA). Of these three products, MEA generally produces the highest profit margin. The reactions that take place are all very fast. Thus, the reactor size does not need to be very big. This system features one stainless steel<sup>2</sup> plug flow reactor<sup>3</sup>, three meters long and thirty centimeters in diameter, to give the most efficient reaction for the space in the reactor. We have to ensure that all of the ethylene oxide reacted. Any ethylene oxide left in the system after the reaction would react with something else downstream and increase corrosion and cause pressure differentials in the downstream processes that would be very damaging to that equipment. In general, the residence time<sup>4</sup> of this reactor, based on a goal of 100 million pounds of ethanolamines per year, will be about thirty seconds. If only MEA is desired, the residence time can be reduced since MEA forms most quickly of all the potential products. This could also allow for more ammonia to flow through the reactor, increasing the ammonia/ethylene oxide ratio and thus the percentage of MEA formed. » (d'après [7]).

**Q 10.** Identifier si le procédé de synthèse de l'éthanolamine est un procédé continu ou discontinu et nommer le type de modélisation du réacteur utilisé et les raisons de ce choix.

Pour comparer l'efficacité de deux modèles de réacteurs, un réacteur modélisé en écoulement piston et un réacteur modélisé parfaitement agité (RPAC), le taux de conversion de l'oxyde d'éthylène est déterminé en fonction du temps de passage  $x$ . Le taux de conversion est noté  $f(x)$  pour le modèle RPAC et  $g(x)$  pour le modèle piston.

Les hypothèses suivantes sont supposées vérifiées pour chaque réacteur :

- la réaction est d'ordre apparent 1 par rapport à l'époxyde ;
- la température est constante dans chacun des réacteurs ;
- à cette température, la constante de vitesse apparente est égale à  $k = 2 \times 10^{-3} \text{ s}^{-1}$ .

**Q 11.** Établir les expressions des taux de conversion de l'oxyde d'éthylène en fonction de la constante de vitesse apparente  $k$  et du temps de passage  $x$ , dans les deux modèles de réacteur. Écrire alors les deux fonctions Python  $f$  et  $g$  d'enfête

```
def f(x:float, k:float) -> float:
    def g(x:float, k:float) -> float:
```

qui calculent le taux de conversion de l'oxyde d'éthylène pour le temps de passage  $x$  et la constante de vitesse  $k$ , respectivement pour un réacteur RPAC et un réacteur en écoulement piston.

En utilisant ces deux fonctions, un programme Python permet de visualiser l'évolution du taux de conversion en fonction du temps de passage pour une constante de vitesse donnée. Le graphe obtenu lors de la mise en œuvre de ce programme est fourni en figure 4.

<sup>1</sup> *versatile* : polyvalent.

<sup>2</sup> *stainless steel* : acier inoxydable.

<sup>3</sup> *plug flow reactor* : réacteur à écoulement piston.

<sup>4</sup> *residence time* : temps de passage.

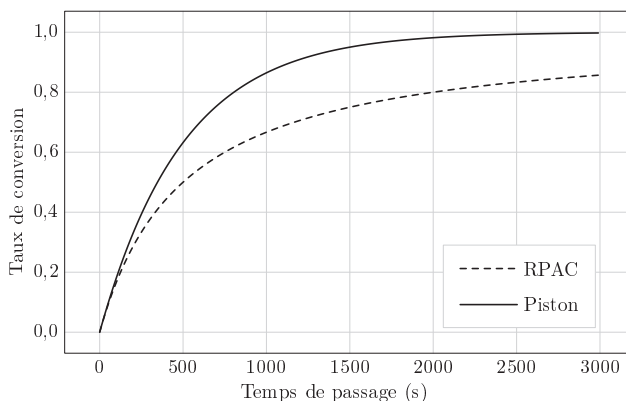


Figure 4 Taux de conversion en oxyde d'éthylène en fonction du temps de passage

**Q 12.** Comparer l'efficacité des deux modèles de réacteurs.

**I.B – Étude de la capture et du relargage du dioxyde de carbone par des solutions aqueuses basiques**

Le dioxyde de carbone possédant des propriétés acides au sens de Brönsted, sa capture, à l'aide d'une solution basique est, à priori, envisageable. Outre l'étude de sa capture, son relargage est aussi analysé afin de pouvoir réutiliser la solution basique pour d'autres captures. Deux solutions sont envisagées pour cela et leur efficacité comparée :

- une solution aqueuse de soude ;
- une solution aqueuse d'éthanolamine.

**I.B.1) Suivi par pressiométrie de la capture du dioxyde de carbone par une solution d'éthanolamine**

La transformation chimique ayant lieu lors de la mise en contact du dioxyde de carbone et de l'éthanolamine est une transformation complexe. Pour la modéliser de manière simple, lorsque  $\text{CO}_2$  est en défaut, il est communément admis que le système évolue pour conduire à la formation d'un carbamate. Ce qui peut être modélisé par la réaction d'équation suivante :

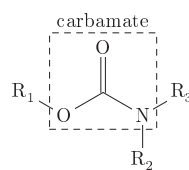
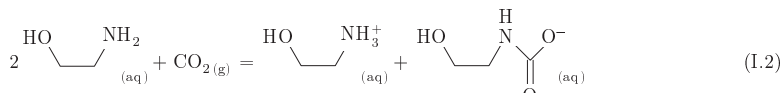


Figure 5 Carbamate

**Q 13.** Proposer un mécanisme réactionnel pour rendre compte de cette réaction.

Une étude expérimentale au laboratoire est mise en œuvre afin de déterminer le pourcentage de  $\text{CO}_2$  gazeux capté par une solution aqueuse d'éthanolamine ainsi que l'enthalpie standard de réaction de la réaction (I.2).

Pour cela, 100,0 mL d'une solution aqueuse d'éthanolamine de concentration 0,500 mol·L<sup>-1</sup> sont introduits dans un erlenmeyer de volume intérieur d'environ 360 mL.

Un bouchon équipé d'un robinet 3 voies est vissé hermétiquement sur cet erlenmeyer. L'une des voies permet l'ajout de gaz à l'aide d'une seringue, l'autre permet de mesurer, à l'aide d'un capteur adapté, la pression totale à l'intérieur de l'rlenmeyer (figure 6). Le volume des tuyaux de connexion est négligé. La valeur de la pression initiale est  $P_i = 1005 \text{ hPa}$  (1 hPa = 100 Pa).

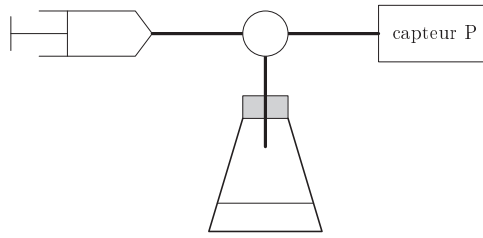


Figure 6

Sous cette pression  $P_i$ , 60 mL de CO<sub>2</sub> gazeux sont placés dans la seringue et injectés dans l'rlenmeyer. La température est maintenue constante à 21 °C. Un état d'équilibre est rapidement atteint et une pression totale  $P = 1032$  hPa est mesurée.

**Q 14.** Déterminer le pourcentage de CO<sub>2</sub> gazeux capté par la solution aqueuse d'éthanolamine dans les conditions de l'expérience.

**Q 15.** Donner la valeur, à l'équilibre chimique, du quotient réactionnel de la réaction (I.2) dans les conditions de l'expérience.

L'rlenmeyer est ensuite placé dans un bain thermostaté et, à l'équilibre chimique, la pression totale  $P$  est mesurée pour différentes températures  $\theta$  et les quotients réactionnels à l'équilibre  $Q_r(\text{eq})$  sont déterminés. Les résultats obtenus sont présentés dans le tableau 2.

$\theta$ (°C)	26	31	36	41	46	51
$Q_r(\text{eq})$	$42 \times 10^{-3}$	$24 \times 10^{-3}$	$16 \times 10^{-3}$	$12 \times 10^{-3}$	$8 \times 10^{-3}$	$5 \times 10^{-3}$

Tableau 2

**Q 16.** Déduire de ces résultats la valeur de l'enthalpie standard de réaction de la réaction (I.2). Commenter.

**I.B.2) Suivi par titrage de la capture et du relargage de dioxyde de carbone par différentes solutions basiques**

Deux solutions basiques sont utilisées :

- une solution aqueuse de soude de concentration voisine de 0,50 mol·L<sup>-1</sup>,
- une solution aqueuse d'éthanolamine à une concentration voisine de 0,50 mol·L<sup>-1</sup>.

Le protocole expérimental mis en œuvre est le suivant :

- introduire dans une burette de 25 mL le réactif titrant, de l'acide chlorhydrique de concentration 0,100 mol·L<sup>-1</sup> ;
- *premier titrage des solutions basiques*, prélever 2,0 mL de solution basique, les placer dans un bêcher de 50 mL, ajouter 20 mL d'eau puis titrer par la solution acide ;
- *deuxième titrage*, reprendre le montage décrit dans la section I.B.1 et introduire, à l'aide de la seringue, 60 mL de dioxyde de carbone (pression  $P_i = 1005$  hPa, température  $T_i = 21$  °C) dans 20 mL de la solution basique ; agiter cinq minutes à température ambiante. La solution obtenue est notée  $S_{\text{capture}}$ . Prélever 2,0 mL de la solution  $S_{\text{capture}}$  et les verser dans un bêcher, titrer comme précédemment après avoir rajouté 20 mL d'eau.
- *troisième titrage*, porter la solution restante,  $S_{\text{capture}}$ , à reflux une dizaine de minutes. Prélever à nouveau 2,0 mL de solution, les placer dans un bêcher et la titrer comme précédemment après avoir rajouté 20 mL d'eau.

Six courbes de titrages sont ainsi obtenues :

Solution basique	soude (0,50 mol·L <sup>-1</sup> )	éthanolamine (0,50 mol·L <sup>-1</sup> )
Figure	7	8
Premier titrage	courbe (S1)	courbe (E1)
Deuxième titrage	courbe (S2)	courbe (E2)
Troisième titrage	courbe (S3)	courbe (E3)

Un programme rédigé en langage Python a permis de tracer les courbes des figures 7 et 8 à partir des valeurs expérimentales stockées dans des listes. Ainsi, pour tracer la courbe (S2) sur la figure de gauche de la figure 7, deux listes de même taille V2 et PH2 sont utilisées. V2[i] et PH2[i] correspondent respectivement au volume de réactif titrant introduit et au pH de la solution lors de la mesure i.

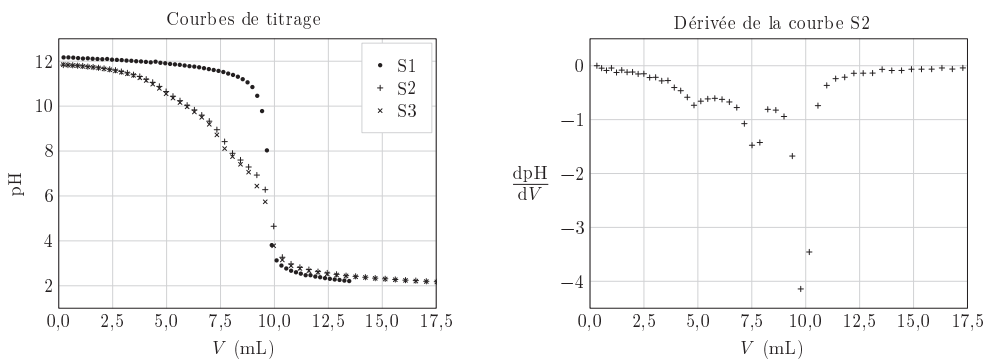


Figure 7 Résultats expérimentaux avec la soude

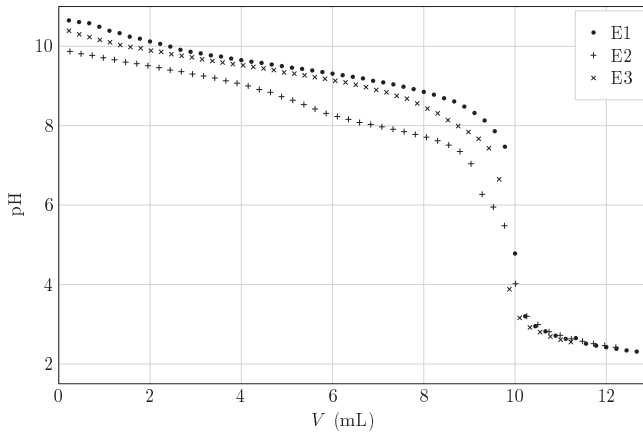


Figure 8 Résultats expérimentaux avec l'éthanamine

**Q 17.** Écrire en Python la fonction d'entête

```
def derive(V:list, pH:list) -> (list, list):
```

qui, à partir des valeurs expérimentales de volume et de pH, construit deux nouvelles listes permettant de tracer la courbe dérivée représentée à droite sur la figure 7. Écrire ensuite la fonction d'entête

```
def volequiv(V:list, dpH:list) -> float:
```

qui, à partir des deux listes produites par la fonction `derive`, détermine la valeur du volume correspondant à l'extrémum de la dérivée du pH.

L'application des fonctions précédentes aux données expérimentales de la courbe S2 fournit un résultat de 9,8 mL pour la fonction `volequiv`.

**Q 18.** Écrire la ou les équations des réactions support du titrage, mises en jeu lors du second titrage pour la solution basique de soude (courbe S2).

**Q 19.** Déterminer le pourcentage de dioxyde de carbone gazeux capté par la soude. Confronter ce résultat à celui obtenu question 14.

**Q 20.** Exploiter qualitativement les résultats expérimentaux pour conclure quant à la possibilité de relargage ou non du dioxyde de carbone soit par la solution aqueuse de soude, soit par la solution aqueuse d'éthanamine.

**Q 21.** Indiquer s'il est possible de récupérer le dioxyde de carbone gazeux en ajoutant un acide fort à la solution  $S_{\text{capture}}$  obtenue lors du second titrage. Conclure.

### I.B.3) Étude d'une unité de capture de dioxyde de carbone sur un site industriel

Dans le but de réduire l'émission de gaz à effet de serre, l'Union européenne a décidé, depuis les accords de Kyoto, de fixer des quotas d'émission. Au-delà d'un certain seuil, les entreprises doivent payer une taxe de l'ordre de 30 € la tonne de dioxyde de carbone émis.

Le traitement du dioxyde de carbone émis sur un site industriel n'est pas toujours possible. Une piste envisagée consiste alors à :

- alimenter, sur ce site, une colonne de traitement du dioxyde de carbone gazeux émis, avec à contre-courant, une solution d'éthanolamine ;
- transférer les solutions aqueuses recueillies sur un second site industriel à l'aide de pompes et de pipelines ;
- traiter les solutions aqueuses sur le second site industriel afin de récupérer le dioxyde de carbone gazeux pour l'exploiter ou l'enfouir et de régénérer la solution d'éthanolamine.

**Q 22.** Expliquer le traitement à mettre en œuvre sur le second site et justifier le choix de l'éthanolamine plutôt que la soude.

L'éthanolamine ne possède pas de propriétés oxydantes notoires, malgré tout, les solutions d'éthanolamine favorisent l'oxydation du fer en fer(II), ce qui constitue un inconvénient pour l'utilisation des colonnes de traitement, pompes, pipelines et autres dispositifs de stockage métalliques.

**Q 23.** Représenter l'allure des courbes intensité-potentiel permettant d'interpréter l'oxydation d'un métal en milieu acide.

**Q 24.** Justifier si l'oxydation du fer en fer(II) par des solutions aqueuses d'éthanolamine peut s'interpréter :

- par le fait que la solution aqueuse d'éthanolamine est basique ;
- par le fait que l'éthanolamine forme des complexes avec les ions fer(II) en solution.

## II Synthèse du (+/-)-Kempène-2

Le (+/-)-Kempène-2 est un diterpène tétracyclique isolé des sécrétions de défense émises par les termites soldats Nasutitermitinae. Deux étapes de la synthèse proposée par William G. Dauben *et al.* font intervenir une hydroboration dont l'une utilise un dialkylborane à la place du bore. L'hydroboration des alcènes trouve de nombreuses applications en synthèse organique, car elle présente une régiosélectivité et une stéréosélectivité intéressante. Largement étudiée par H.C. Brown, elle lui a valu le prix Nobel de chimie en 1979.

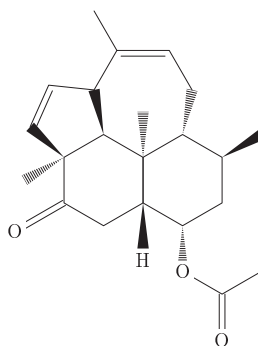


Figure 9 (+/-)-Kempène-2

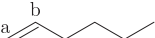
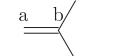
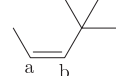
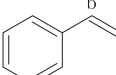
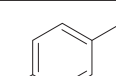
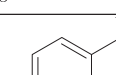
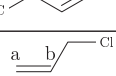
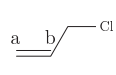
Une étude de la régiosélectivité et de la stéréosélectivité ainsi qu'une étude cinétique de la réaction d'hydroboration sont abordées en préliminaire de la synthèse du (+/-)-Kempène-2.

### II.A – Étude de la réaction d'hydroboration des alcènes

#### II.A.1) Régiosélectivité de la réaction d'hydroboration des alcènes

Diverses expériences ont été réalisées afin d'étudier la régiosélectivité de la réaction d'hydroboration. Quelques résultats obtenus par Herbert C. Brown et son équipe entre 1960 et 1981, sont rassemblés dans le tableau 3 qui donne la proportion a/b des régioisomères borés formés :

$$\frac{a}{b} = \frac{\text{quantité de matière de produit dans lequel le bore est fixé sur l'atome de carbone a}}{\text{quantité de matière de produit dans lequel le bore est fixé sur l'atome de carbone b}}$$

Expérience	Alcène	Réactif	Rapport a/b
1		$\text{BH}_3$	94/6 [1]
2		$\text{BH}_3$	99/1 [1]
3		$\text{BH}_3$	58/42 [1]
4		$\text{BH}_3$	81/19 [3]
5		$\text{BH}_3$	93/7 [3]
6		$\text{BH}_3$	66/34 [3]
7		$\text{BH}_3$	60/40 [5]
8			99/1 [5]

**Tableau 3** Résultats expérimentaux relatifs à la régiosélectivité de l'hydroboration de différents alcènes

- Q 25.** Représenter une structure de Lewis du borane,  $\text{BH}_3$  et justifier sa géométrie.
- Q 26.** Déterminer les informations apportées par les expériences 1, 2 et 3 sur la réaction d'hydroboration.
- Q 27.** Déterminer les informations apportées par les expériences 4, 5 et 6 sur la réaction d'hydroboration ; on pourra examiner les effets électroniques.
- Q 28.** Déterminer les informations apportées par les expériences 7 et 8 sur la réaction d'hydroboration.

L'hydroboration des alcènes étant sous contrôle cinétique, un contrôle frontalier de la réaction est envisageable.

- Q 29.** Citer l'orbitale frontalière de l'alcène que l'on doit prendre en considération pour cette étude.

Le tableau 4 donne la valeur absolue du coefficient de la combinaison linéaire dans l'orbitale frontalière concernée sur les carbones a et b de l'alcène mis en œuvre dans les expériences numérotées de 1 à 7.

Alcène de l'expérience n°	1	2	3	4	5	6	7
Carbone a	0,473	0,519	0,391	0,157	0,106	0,181	0,322
Carbone b	0,355	0,333	0,407	0,079	0,036	0,111	0,270

**Tableau 4** Valeur absolue du coefficient de la combinaison linéaire dans l'orbitale frontalière concernée sur les carbones a et b de l'alcène (source : logiciel ChimPackPro)

- Q 30.** Conclure, en argumentant, quant à la validité de l'hypothèse d'un contrôle frontalier pour la réaction d'hydroboration.

### II.A.2) Stéréosélectivité de la réaction d'hydroboration des alcènes

L'aspect stéréochimique de la réaction d'hydroboration a été étudié sur 4 alcènes deutérés : le (E)-1,2-dideutérohex-1-ène noté E-1, le (Z)-1,2-dideutérohex-1-ène noté Z-1, le (E)-1-deutérohex-1-ène noté E-2, le (Z)-1-deutérohex-1-ène noté Z-2.

Le deutérium, de symbole D, est un isotope de l'hydrogène, qui n'est pas observé en RMN  $^1\text{H}$ . En nomenclature officielle, il est désigné par le préfixe deutéro. Pour les règles CIP, le deutérium est prioritaire devant l'hydrogène.

L'hydroboration de E-1 et Z-1 est réalisée par le dicyclohexylborane  $\text{HB}(\text{Cy})_2$ . L'hydroboration de E-2 et de Z-2 est réalisée par le dicyclohexylborane deutéré  $\text{DB}(\text{Cy})_2$ . Le protocole mis en œuvre permet d'obtenir, pour chacun des alcènes étudiés, un unique mélange racémique du régioisomère boré majoritaire qui est étudié par RMN  $^1\text{H}$ . Le tableau 5 rassemble les résultats obtenus.

Expérience	Réactif	Alcène	Mélange racémique	Constante de couplage du doublet du produit obtenu
1	$\text{HB}(\text{Cy})_2$	E-1	3	3,6 Hz
2	$\text{HB}(\text{Cy})_2$	Z-1	4	12,4 Hz
3	$\text{DB}(\text{Cy})_2$	E-2	4	12,4 Hz
4	$\text{DB}(\text{Cy})_2$	Z-2	3	3,6 Hz

Tableau 5 Résultats expérimentaux relatifs à la stéréosélectivité de l'hydroboration de différents alcènes [4]

**Q 31.** Dessiner une représentation topologique spatiale en représentation de Cram des quatre stéréoisomères obtenus à l'issue des deux transformations étudiées sans attribuer les mélanges racémiques 3 ou 4 correspondants. Préciser les relations de stéréoisomérie qui les lient.

**Q 32.** Représenter la projection de Newman d'un des quatre stéréoisomères dans la conformation la plus stable.

La valeur de la constante de couplage  $J$  entre deux protons liés à deux atomes de carbone C et C' voisins dépend de l'angle dièdre  $\Phi$  entre les plans définis par les liaisons C'-C-H et C-C'-H'. Des calculs effectués par Karplus ont permis d'établir la courbe donnant la valeur de la constante de couplage  $J$  en fonction de la valeur de l'angle dièdre  $\Phi$ . La courbe de Karplus est reproduite en figure 10.

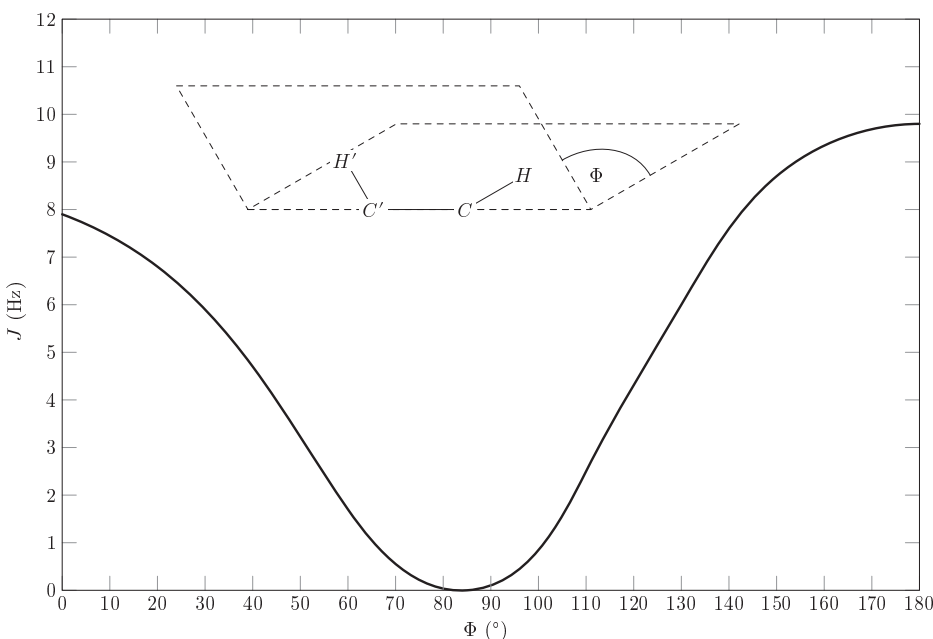


Figure 10 Courbe de Karplus [8]

**Q 33.** En supposant la présence exclusive de la conformation la plus stable et en s'appuyant sur la courbe de Karplus, attribuer précisément la composition des mélanges racémiques 3 et 4.

**Q 34.** Conclure si l'hydroboration des alcènes est une addition *syn* ou *anti* et si elle est stéréospécifique.

### II.A.3) Étude cinétique d'une réaction d'hydroboration

L'étude cinétique porte sur la réaction du disiamylborane,  $\text{HB}(\text{sia})_2$ , sur les cycloalcènes à  $0^\circ\text{C}$  [2].

#### a) Préparation de la solution de disiamylborane $\text{HB}(\text{sia})_2$

Les solutions de disiamylborane n'étant pas stables, elles doivent être utilisées *in situ* juste après leur préparation.



**Figure 11** Tétrahydrofurane

Dans un bicol de 200 mL parfaitement sec, parcouru par un courant de diazote, sont introduits 20,00 mL d'une solution de 2-méthylbut-2-ène dans le tétrahydrofurane (THF, figure 11) anhydre à la concentration de  $6,00 \text{ mol}\cdot\text{L}^{-1}$ . Le ballon est refroidi à  $-20^\circ\text{C}$  et un volume de 24,30 mL de solution de borane de concentration  $2,47 \text{ mol}\cdot\text{L}^{-1}$  dans le THF anhydre est additionné lentement. Le milieu réactionnel est maintenu sous agitation pendant 9 h afin d'atteindre un taux de transformation du 2-méthylbut-2-ène de 99 %. 85,5 mL de THF anhydre sont ensuite rajoutés au milieu réactionnel et la solution de disiamylborane dans le THF anhydre, ramenée à une température de  $-2^\circ\text{C}$ , est prête à l'emploi pour les études cinétiques.

**Q 35.** Justifier le choix du solvant.

**Q 36.** Établir une représentation topologique du disiamylborane formé.

#### b) Étude cinétique de la réaction du disiamylborane sur le cyclopentène à $0^\circ\text{C}$

Une solution de cyclopentène de concentration  $3,00 \text{ mol}\cdot\text{L}^{-1}$  dans le THF anhydre est préparée et maintenue à  $0^\circ\text{C}$ .

Pour réaliser la transformation chimique intervenant entre le disiamylborane et le cyclopentène à  $0^\circ\text{C}$ , 20,00 mL de la solution de cyclopentène sont ajoutés à la solution de disiamylborane. Pour suivre la transformation chimique, des prélèvements de 0,50 mL de solution sont réalisés à différentes dates  $t$ . Chaque échantillon prélevé est placé dans un tube à hémolysé contenant 0,10 mL de 1-décène et est ensuite stocké à  $-78^\circ\text{C}$ . Les échantillons sont analysés par la suite par chromatographie en phase vapeur. L'exploitation du chromatogramme permet d'accéder à la concentration en cyclopentène dans le milieu réactionnel. Les résultats obtenus sont rassemblés dans le tableau 6.

$t$ (s)	610	1270	1950	2530	4320	5820	7080	8760
[cyclopentène] (mol·L $^{-1}$ )	0,284	0,216	0,176	0,153	0,113	0,090	0,077	0,063

**Tableau 6** Concentration du cyclopentène à différents dates  $t$  au cours de la transformation chimique intervenant entre le disiamylborane ( $\text{HB}(\text{sia})_2$ ) et le cyclopentène à  $0^\circ\text{C}$

**Q 37.** Préciser le rôle du 1-décène dans les différents prélèvements.

**Q 38.** Justifier le fait que les conditions opératoires permettent la détermination de l'ordre global de la réaction.

**Q 39.** Déterminer l'ordre global de la réaction et la valeur de la constante cinétique de la réaction à la température de  $0^\circ\text{C}$ .

**Q 40.** Donner une représentation topologique du produit obtenu à l'issue de la transformation.

#### c) Influence de la taille du cycle

L'étude précédente a été menée dans les mêmes conditions sur le cyclohexène et sur le cycloheptène. Le tableau 7 fournit les constantes cinétiques obtenues dans chaque étude.

composé	cyclohexène	cycloheptène
$k$ (L·mol $^{-1}\cdot\text{s}^{-1}$ )	$13 \times 10^{-6}$	$72 \times 10^{-4}$

**Tableau 7** Constantes cinétiques de la réaction du disiamylborane sur différents cycloalcènes à  $0^\circ\text{C}$

Composé	cyclopentène	cyclohexène	cycloheptène
Conformation la plus stable			

**Tableau 8** Représentation des cycloalcènes dans la conformation la plus stable

**Q 41.** Proposer une interprétation des faits expérimentaux.

#### II.A.4) Conclusion sur l'étude de la réaction d'hydroboration des alcènes

**Q 42.** En faisant référence à l'ensemble des résultats expérimentaux, proposer, sur un exemple pertinent, un mécanisme réactionnel pour la réaction d'hydroboration des alcènes par le borane et donner l'allure du profil énergétique correspondant.

#### II.B – Synthèse du (+/-)-Kempène-2 à partir de la 2,6-diméthylbenzoquinone 1

Une analyse rétrosynthétique proposée par Melanie Schubert et Peter Metz [10] met en évidence la nécessité de former en premier lieu la jonction de cycle entre les cycles à 6 chainons (figure 12).

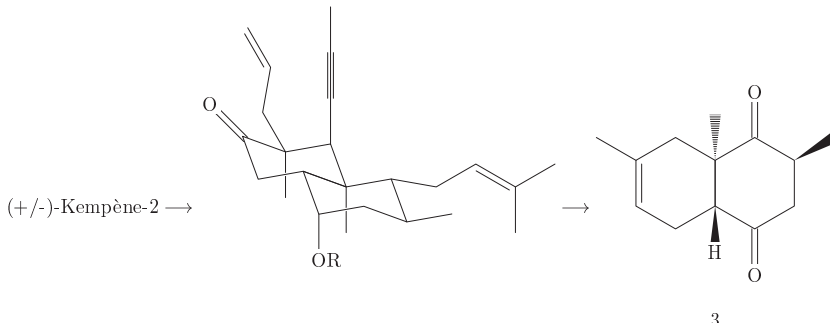


Figure 12

C'est également la première étape de la synthèse du (+/-)-Kempène-2 proposée par William G. Dauben *et al.* [6] qui est l'objet de l'étude qui suit. Une première transformation permet l'obtention du composé 2 à partir du composé 1 (figure 13).

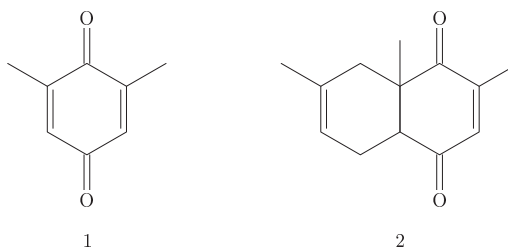


Figure 13 Composés 1 et 2

**Q 43.** Proposer un réactif permettant l'obtention du composé 2 à partir du composé 1.

**Q 44.** Donner une représentation topologique spatiale du (ou des) stéréoisomère(s) du composé 2 obtenu(s).

Les stéréoisomères isolés sont ensuite chauffés à reflux dans de l'acide éthanoïque en présence de zinc. Le traitement du brut réactionnel permet d'obtenir le composé 3 (figure 12) avec un rendement de 13 % à partir du composé 1.

**Q 45.** À l'aide d'un ou de plusieurs réducteurs proposés dans le tableau 9 et de tout réactif jugé nécessaire, proposer une voie de synthèse multi-étapes permettant d'obtenir le composé 4 (figure 14) à partir du composé 3 sans se préoccuper de la stéréochimie.

**Q 46.** Indiquer le rôle du OBn dans la différenciation des fonctions cétones.

Une suite de réactions non explicitée ici permet d'obtenir le composé 5 (figure 15) à partir du composé 3 avec un rendement de 39 %.

Le composé 5 est ajouté à un équivalent de disiamylborane, HB(sia)<sub>2</sub>, dans le THF à 40 °C pendant 72 h puis le milieu est refroidi à 0 °C et du peroxyde d'hydrogène H<sub>2</sub>O<sub>2</sub> dans une solution de soude est rajouté. Le composé 6 est isolé avec un rendement de 82 %.

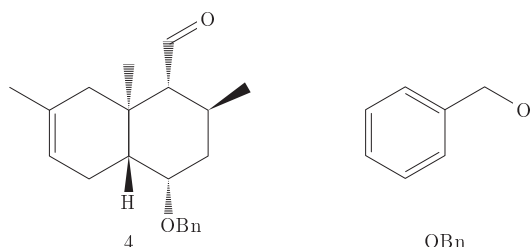


Figure 14 Composé 4

Réducteur	Caractéristiques
LiAlH <sub>4</sub>	C'est un hydrure très général, il réduit en alcool la plupart des composés chimiques tels que les aldéhydes, les cétones, les acides carboxyliques et leurs dérivés, les nitriles. Il est peu sélectif.
NaBH <sub>4</sub>	C'est un réducteur assez doux, qui permet de réduire les cétones, les aldéhydes et les chlorures d'acide en alcool. Les esters et autres dérivés d'acide réagissent lentement ou pas du tout.
DiBALH	Le DiBAL (aussi noté DiBALH, pour DiisoButylAluminiumHydrid) est aussi un agent de réduction, mais pas aussi fort que LiAlH <sub>4</sub> , il est donc plus sélectif. Il permet en particulier de réduire un ester en aldéhyde.
L-Sélectride	La L-Sélectride® (trisiamylborohydre de Lithium) est un agent réducteur très sélectif du fait de son encombrement stérique. Il conduit à des réductions régiosélectives et stéréosélectives des aldéhydes et des cétones en alcool. Une hydrolyse acide du milieu réactionnel permet d'obtenir l'alcool.

Tableau 9 Quelques réducteurs mis en œuvre en chimie organique et leurs caractéristiques [9]

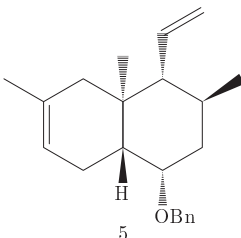


Figure 15 Composé 5

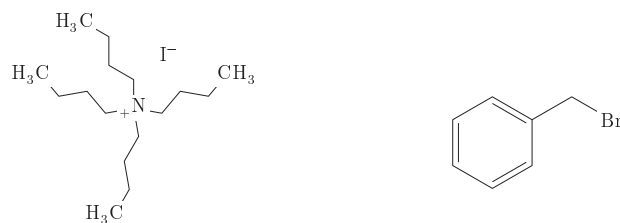


Figure 16

Le composé 6 est ensuite placé pendant 48 h dans une solution d'hydrure de sodium NaH dans le THF en présence d'un équivalent de bromure de benzyle  $BnBr$  et d'iodure de tétrabutylammonium pour conduire au composé 7 avec un rendement de 98 %.

Le composé 7 est mis en présence de borane dans le THF à 0 °C pendant 6 h puis du peroxyde d'hydrogène dans une solution de soude est rajouté. Le composé 8 est isolé avec un rendement de 77 %.

Une suite de réactions non explicitée ici permet d'obtenir le composé 9 (figure 17) avec un rendement de 53 %.

**Q 47.** Compte tenu de la régiosélectivité de la réaction d'hydroboration des alcènes, proposer une représentation topologique spatiale pour les composés 6 et 7.

**Q 48.** Indiquer le rôle de l'iode de tétrabutylammonium dans l'obtention du composé 7.

**Q 49.** Donner une représentation topologique spatiale du composé 8.

**Q 50.** Commenter le choix des réactifs borés dans les deux hydroborations.

Le composé 9, placé dans le toluène en présence de EtAlCl<sub>2</sub> et d'un équivalent de 2-méthylbut-1,3-diène (ou isoprène), est chauffé à 80 °C pendant 24 h. Le composé 10 est isolé avec un rendement de 66 %.

Une suite de réactions non explicitée ici permet d'obtenir le composé 11 (figure 17) à partir du composé 10 avec un rendement de 68 %.

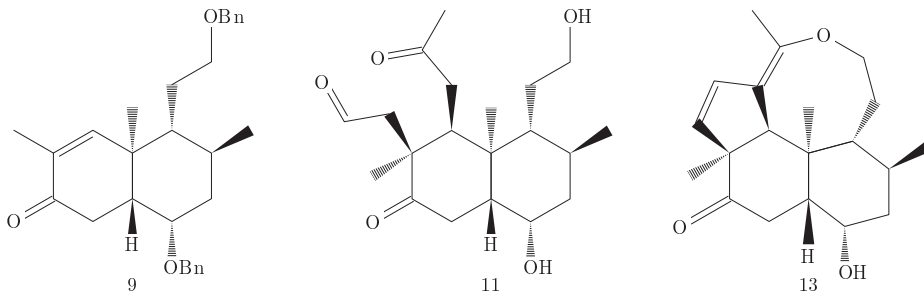


Figure 17 Les composés 9, 11 et 13

Le composé 11 est placé en présence d'isopropylamidure de lithium (LDA) dans le THF pour conduire au composé 12 après traitement du brut réactionnel. Le composé 12, de formule brute C<sub>20</sub>H<sub>32</sub>O<sub>5</sub>, est un composé tricyclique présentant deux cycles à 6 atomes de carbone et un cycle à 5 atomes de carbone.

Le composé 12 est chauffé à 80 °C pendant deux heures dans le benzène en présence d'une quantité catalytique d'acide paratoluène sulfonique (APTS). Le composé 13 (figure 17) est isolé avec un rendement de 61 % (passage de 11 à 13).

Le composé 13 mis en présence de chlorure d'éthanoyle dans la pyridine conduit au composé 14 qui est isolé avec un rendement de 66 %.

**Q 51.** En supposant que la transformation du composé 9 en composé 10 est sous contrôle frontalier, prévoir la régiosélectivité de la réaction.

**Q 52.** Indiquer le rôle du EtAlCl<sub>2</sub> utilisé lors de la transformation du composé 9 en composé 10.

**Q 53.** Donner une représentation topologique spatiale du composé 10 sachant que le stéréodescripteur des deux nouveaux centres stéréogènes est S.

**Q 54.** Donner une représentation topologique du composé 12.

**Q 55.** Proposer un mécanisme réactionnel pour le passage du composé 11 au composé 12 et justifier la régiosélectivité prenant place lors de la cyclisation.

**Q 56.** Proposer un mécanisme réactionnel pour le passage du composé 12 au composé 13 sachant qu'il y a formation d'un hémiacétal cyclique intermédiaire.

**Q 57.** Donner une représentation topologique spatiale du composé 14.

Une suite de transformations non détaillées ici permet la formation du (+/-)-Kempène-2 avec un rendement de 13 % à partir du composé 14.

**Q 58.** Déterminer la valeur du rendement de cette synthèse. Commenter.

## Données

### Constantes physiques

$$\begin{array}{ll} \text{Constante d'Avogadro} & N_A = 6,02 \times 10^{23} \text{ mol}^{-1} \\ \text{Constante des gaz parfaits} & R = 8,314 \text{ J}\cdot\text{K}^{-1}\cdot\text{mol}^{-1} \end{array}$$

### Constantes d'acidité à 298 K

	$\text{NH}_4^+_{(\text{aq})}/\text{NH}_3_{(\text{aq})}$	$\text{H}_2\text{CO}_3_{(\text{aq})}/\text{HCO}_3^-_{(\text{aq})}$	$\text{HCO}_3^-_{(\text{aq})}/\text{CO}_3^{2-}_{(\text{aq})}$
$\text{pK}_a$	9,2	6,2	10,3

### Masses molaires atomique et moléculaires ( $\text{g}\cdot\text{mol}^{-1}$ )

Éthanolamine	Argent	Eau	Ammoniac	Oxyde d'éthylène	Dioxyde de carbone
61	108	18	17	44	44

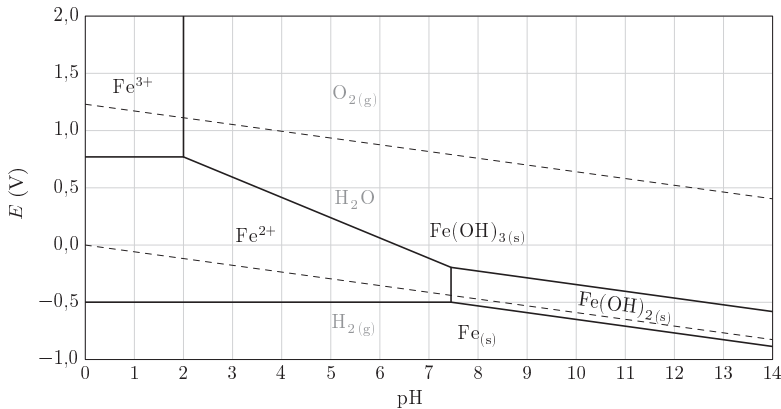
### Informations diverses

- L'éthanolamine est liquide à température ambiante, sa densité est de 1,02.
- Le rayon atomique de l'argent vaut 160 pm.

### Enthalpies standard de formation à 298 K

	$\text{H}_2\text{C}=\text{CH}_{2(\text{g})}$	$\text{O}_{2(\text{g})}$	$\text{O}_{(\text{g})}$
$\Delta_f H^\circ (\text{kJ}\cdot\text{mol}^{-1})$	50	0	-50

Diagramme potentiel-pH de l'élément fer (concentration de tracé  $0,01 \text{ mol}\cdot\text{L}^{-1}$ ), avec superposition, en pointillé, du diagramme potentiel-pH de l'eau.



Énergie des orbitales frontalières et valeur absolue des coefficients dans la combinaison linéaire de l'orbitale frontalière (calculs effectués avec le logiciel ChimPackPro)

2-méthylbu-1,3-diène ou isoprène		
	BV : 0,2 eV	HO : -9,6 eV
2'	0,275	0,390
3'	0,169	0,198
4'	0,148	0,123
C1'	0,338	0,248

Modélisation du composé 9		
2	BV : -6,3 eV	HO : -15,1 eV
1	0,011	0,404
C1	0,339	0,201
C2		

## Tableau périodique des éléments

<b>H</b>	Hydrogène 1	1,008	Masse atomique relative (d'après CIAAW, Atomic weights of the elements 2020)
<b>Li</b>	Béryllium 3	6,91218	
<b>Be</b>	Béryllium 4		
<b>K</b>	Calcium 19	40,1	
<b>Ca</b>	Scandium 20	44,9559	
<b>Sc</b>	Titanium 21	50,94	
<b>V</b>	Vanadium 22	52,00	
<b>Cr</b>	Chromium 23	54,9380	
<b>Mn</b>	Manganèse 24	55,8	
<b>Na</b>	Silicium 11	22,9897693	
<b>Mg</b>	Magnésium 12	24,3	
<b>Rb</b>	Potassium 37	85,468	
<b>Sr</b>	Strontium 38	87,6	
<b>Y</b>	Yttrium 39	88,906	
<b>Ta</b>	Tantale 72	91,2	
<b>Hf</b>	Hafnium 73	92,9064	
<b>Os</b>	Rhénium 74	96	
<b>Re</b>	Thungstène 75	[98]	
<b>W</b>	Tungstène 76		
<b>Cs</b>	Césium 55	132,903452	
<b>Ba</b>	Baryum 56	137,3	
<b>Lanthanides</b>	Lanthanides 57-71		
<b>Fr</b>	Francium 87	223	
<b>Ra</b>	Radium 88	[226]	
<b>Actinides</b>	Actinides 89-103		
<b>He</b>	Hélium 2	4,00260	
<b>Bore</b>	Carbone 5		
<b>B</b>	Carbone 6		
<b>C</b>	Carbone 10,8	12,01	
<b>N</b>	Azote 13	14,01	
<b>P</b>	Phosphore 14	15	
<b>Si</b>	Silicium 15	28,1	
<b>Al</b>	Aluminium 16	26,98154	
<b>Gallium</b>	Gallium 30	30,9737630	
<b>Ge</b>	Germanium 31	32	
<b>Zn</b>	Zinc 32	65,4	
<b>Ni</b>	Nickel 33	58,69	
<b>Co</b>	Cobalt 34	58,9332	
<b>Rh</b>	Rhodium 35	102,9055	
<b>Pd</b>	Palladium 36	106,4	
<b>Ag</b>	Rhodium 37	107,868	
<b>Ru</b>	Rhodium 38	109,1	
<b>Ir</b>	Rhénium 39	112,4	
<b>Pt</b>	Iridium 40	114,82	
<b>Os</b>	Osmium 41	118,7	
<b>Ru</b>	Rhénium 42	119,76	
<b>Ag</b>	Rhénium 43	121,76	
<b>Ag</b>	Rhénium 44	127,6	
<b>Ag</b>	Rhénium 45	131,3	
<b>Ag</b>	Rhénium 46		
<b>Ag</b>	Rhénium 47		
<b>Ag</b>	Rhénium 48		
<b>Ag</b>	Rhénium 49		
<b>Ag</b>	Rhénium 50		
<b>Sn</b>	Argent 51		
<b>In</b>	Argent 52		
<b>Sn</b>	Argent 53		
<b>Sn</b>	Argent 54		
<b>Sn</b>	Argent 55		
<b>Sn</b>	Argent 56		
<b>Sn</b>	Argent 57		
<b>Sn</b>	Argent 58		
<b>Sn</b>	Argent 59		
<b>Sn</b>	Argent 60		
<b>Sn</b>	Argent 61		
<b>Sn</b>	Argent 62		
<b>Sn</b>	Argent 63		
<b>Sn</b>	Argent 64		
<b>Sn</b>	Argent 65		
<b>Sn</b>	Argent 66		
<b>Sn</b>	Argent 67		
<b>Sn</b>	Argent 68		
<b>Sn</b>	Argent 69		
<b>Sn</b>	Argent 70		
<b>Sn</b>	Argent 71		
<b>Sn</b>	Argent 72		
<b>Sn</b>	Argent 73		
<b>Sn</b>	Argent 74		
<b>Sn</b>	Argent 75		
<b>Sn</b>	Argent 76		
<b>Sn</b>	Argent 77		
<b>Sn</b>	Argent 78		
<b>Sn</b>	Argent 79		
<b>Sn</b>	Argent 80		
<b>Sn</b>	Argent 81		
<b>Sn</b>	Argent 82		
<b>Sn</b>	Argent 83		
<b>Sn</b>	Argent 84		
<b>Sn</b>	Argent 85		
<b>Sn</b>	Argent 86		
<b>Sn</b>	Argent 87		
<b>Sn</b>	Argent 88		
<b>Sn</b>	Argent 89		
<b>Sn</b>	Argent 90		
<b>Sn</b>	Argent 91		
<b>Sn</b>	Argent 92		
<b>Sn</b>	Argent 93		
<b>Sn</b>	Argent 94		
<b>Sn</b>	Argent 95		
<b>Sn</b>	Argent 96		
<b>Sn</b>	Argent 97		
<b>Sn</b>	Argent 98		
<b>Sn</b>	Argent 99		
<b>Sn</b>	Argent 100		
<b>Sn</b>	Argent 101		
<b>Sn</b>	Argent 102		
<b>Sn</b>	Argent 103		
<b>Sn</b>	Argent 104		
<b>Sn</b>	Argent 105		
<b>Sn</b>	Argent 106		
<b>Sn</b>	Argent 107		
<b>Sn</b>	Argent 108		
<b>Sn</b>	Argent 109		
<b>Sn</b>	Argent 110		
<b>Sn</b>	Argent 111		
<b>Sn</b>	Argent 112		
<b>Sn</b>	Argent 113		
<b>Sn</b>	Argent 114		
<b>Sn</b>	Argent 115		
<b>Sn</b>	Argent 116		
<b>Sn</b>	Argent 117		
<b>Sn</b>	Argent 118		
<b>Sn</b>	Argent 119		
<b>Sn</b>	Argent 120		
<b>Sn</b>	Argent 121		
<b>Sn</b>	Argent 122		
<b>Sn</b>	Argent 123		
<b>Sn</b>	Argent 124		
<b>Sn</b>	Argent 125		
<b>Sn</b>	Argent 126		
<b>Sn</b>	Argent 127		
<b>Sn</b>	Argent 128		
<b>Sn</b>	Argent 129		
<b>Sn</b>	Argent 130		
<b>Sn</b>	Argent 131		
<b>Sn</b>	Argent 132		
<b>Sn</b>	Argent 133		
<b>Sn</b>	Argent 134		
<b>Sn</b>	Argent 135		
<b>Sn</b>	Argent 136		
<b>Sn</b>	Argent 137		
<b>Sn</b>	Argent 138		
<b>Sn</b>	Argent 139		
<b>Sn</b>	Argent 140		
<b>Sn</b>	Argent 141		
<b>Sn</b>	Argent 142		
<b>Sn</b>	Argent 143		
<b>Sn</b>	Argent 144		
<b>Sn</b>	Argent 145		
<b>Sn</b>	Argent 146		
<b>Sn</b>	Argent 147		
<b>Sn</b>	Argent 148		
<b>Sn</b>	Argent 149		
<b>Sn</b>	Argent 150		
<b>Sn</b>	Argent 151		
<b>Sn</b>	Argent 152		
<b>Sn</b>	Argent 153		
<b>Sn</b>	Argent 154		
<b>Sn</b>	Argent 155		
<b>Sn</b>	Argent 156		
<b>Sn</b>	Argent 157		
<b>Sn</b>	Argent 158		
<b>Sn</b>	Argent 159		
<b>Sn</b>	Argent 160		
<b>Sn</b>	Argent 161		
<b>Sn</b>	Argent 162		
<b>Sn</b>	Argent 163		
<b>Sn</b>	Argent 164		
<b>Sn</b>	Argent 165		
<b>Sn</b>	Argent 166		
<b>Sn</b>	Argent 167		
<b>Sn</b>	Argent 168		
<b>Sn</b>	Argent 169		
<b>Sn</b>	Argent 170		
<b>Sn</b>	Argent 171		
<b>Sn</b>	Argent 172		
<b>Sn</b>	Argent 173		
<b>Sn</b>	Argent 174		
<b>Sn</b>	Argent 175		
<b>Sn</b>	Argent 176		
<b>Sn</b>	Argent 177		
<b>Sn</b>	Argent 178		
<b>Sn</b>	Argent 179		
<b>Sn</b>	Argent 180		
<b>Sn</b>	Argent 181		
<b>Sn</b>	Argent 182		
<b>Sn</b>	Argent 183		
<b>Sn</b>	Argent 184		
<b>Sn</b>	Argent 185		
<b>Sn</b>	Argent 186		
<b>Sn</b>	Argent 187		
<b>Sn</b>	Argent 188		
<b>Sn</b>	Argent 189		
<b>Sn</b>	Argent 190		
<b>Sn</b>	Argent 191		
<b>Sn</b>	Argent 192		
<b>Sn</b>	Argent 193		
<b>Sn</b>	Argent 194		
<b>Sn</b>	Argent 195		
<b>Sn</b>	Argent 196		
<b>Sn</b>	Argent 197		
<b>Sn</b>	Argent 198		
<b>Sn</b>	Argent 199		
<b>Sn</b>	Argent 200		
<b>Sn</b>	Argent 201		
<b>Sn</b>	Argent 202		
<b>Sn</b>	Argent 203		
<b>Sn</b>	Argent 204		
<b>Sn</b>	Argent 205		
<b>Sn</b>	Argent 206		
<b>Sn</b>	Argent 207		
<b>Sn</b>	Argent 208		
<b>Sn</b>	Argent 209		
<b>Sn</b>	Argent 210		
<b>Sn</b>	Argent 211		
<b>Sn</b>	Argent 212		
<b>Sn</b>	Argent 213		
<b>Sn</b>	Argent 214		
<b>Sn</b>	Argent 215		
<b>Sn</b>	Argent 216		
<b>Sn</b>	Argent 217		
<b>Sn</b>	Argent 218		
<b>Sn</b>	Argent 219		
<b>Sn</b>	Argent 220		
<b>Sn</b>	Argent 221		
<b>Sn</b>	Argent 222		
<b>Sn</b>	Argent 223		
<b>Sn</b>	Argent 224		
<b>Sn</b>	Argent 225		
<b>Sn</b>	Argent 226		
<b>Sn</b>	Argent 227		
<b>Sn</b>	Argent 228		
<b>Sn</b>	Argent 229		
<b>Sn</b>	Argent 230		
<b>Sn</b>	Argent 231		
<b>Sn</b>	Argent 232		
<b>Sn</b>	Argent 233		
<b>Sn</b>	Argent 234		
<b>Sn</b>	Argent 235		
<b>Sn</b>	Argent 236		
<b>Sn</b>	Argent 237		
<b>Sn</b>	Argent 238		
<b>Sn</b>	Argent 239		
<b>Sn</b>	Argent 240		
<b>Sn</b>	Argent 241		
<b>Sn</b>	Argent 242		
<b>Sn</b>	Argent 243		
<b>Sn</b>	Argent 244		
<b>Sn</b>	Argent 245		
<b>Sn</b>	Argent 246		
<b>Sn</b>	Argent 247		
<b>Sn</b>	Argent 248		
<b>Sn</b>	Argent 249		
<b>Sn</b>	Argent 250		
<b>Sn</b>	Argent 251		
<b>Sn</b>	Argent 252		
<b>Sn</b>	Argent 253		
<b>Sn</b>	Argent 254		
<b>Sn</b>	Argent 255		
<b>Sn</b>	Argent 256		
<b>Sn</b>	Argent 257		
<b>Sn</b>	Argent 258		
<b>Sn</b>	Argent 259		
<b>Sn</b>	Argent 260		
<b>Sn</b>	Argent 261		
<b>Sn</b>	Argent 262		
<b>Sn</b>	Argent 263		
<b>Sn</b>	Argent 264		
<b>Sn</b>	Argent 265		
<b>Sn</b>	Argent 266		
<b>Sn</b>	Argent 267		
<b>Sn</b>	Argent 268		
<b>Sn</b>	Argent 269		
<b>Sn</b>	Argent 270		
<b>Sn</b>	Argent 271		
<b>Sn</b>	Argent 272		
<b>Sn</b>	Argent 273		
<b>Sn</b>	Argent 274		
<b>Sn</b>	Argent 275		
<b>Sn</b>	Argent 276		
<b>Sn</b>	Argent 277		
<b>Sn</b>	Argent 278		
<b>Sn</b>	Argent 279		
<b>Sn</b>	Argent 280		
<b>Sn</b>	Argent 281		
<b>Sn</b>	Argent 282		
<b>Sn</b>	Argent 283		
<b>Sn</b>	Argent 284		
<b>Sn</b>	Argent 285		
<b>Sn</b>	Argent 286		
<b>Sn</b>	Argent 287		
<b>Sn</b>	Argent 288		
<b>Sn</b>	Argent 289		
<b>Sn</b>	Argent 290		
<b>Sn</b>	Argent 291		
<b>Sn</b>	Argent 292		
<b>Sn</b>	Argent 293		
<b>Sn</b>	Argent 294		
<b>Sn</b>	Argent 295		
<b>Sn</b>	Argent 296		
<b>Sn</b>	Argent 297		
<b>Sn</b>	Argent 298		
<b>Sn</b>	Argent 299		
<b>Sn</b>	Argent 300		
<b>Sn</b>	Argent 301		
<b>Sn</b>	Argent 302		
<b>Sn</b>	Argent 303		
<b>Sn</b>	Argent 304		
<b>Sn</b>	Argent 305		
<b>Sn</b>	Argent 306		
<b>Sn</b>	Argent 307		
<b>Sn</b>	Argent 308		
<b>Sn</b>	Argent 309		
<b>Sn</b>	Argent 310		
<b>Sn</b>	Argent 311		
<b>Sn</b>	Argent 312		
<b>Sn</b>	Argent 313		
<b>Sn</b>	Argent 314		
<b>Sn</b>	Argent 315		
<b>Sn</b>	Argent 316		
<b>Sn</b>	Argent 317		
<b>Sn</b>	Argent 318		
<b>Sn</b>	Argent 319		
<b>Sn</b>	Argent 320		
<b>Sn</b>	Argent 321		
<b>Sn</b>	Argent 322		
<b>Sn</b>	Argent 323		
<b>Sn</b>	Argent 324		
<b>Sn</b>	Argent 325		
<b>Sn</b>	Argent 326		
<b>Sn</b>	Argent 327		
<b>Sn</b>	Argent 328		
<b>Sn</b>	Argent 329		
<b>Sn</b>	Argent 330		
<b>Sn</b>	Argent 331		
<b>Sn</b>	Argent 332		
<b>Sn</b>	Argent 333		
<b>Sn</b>	Argent 334		
<b>Sn</b>	Argent 335		
<b>Sn</b>	Argent 336		
<b>Sn</b>	Argent 337		
<b>Sn</b>	Argent 338		
<b>Sn</b>	Argent 339		
<b>Sn</b>	Argent 340		
<b>Sn</b>	Argent 341		
<b>Sn</b>	Argent 342	</	

## Références

- [1] Herbert C. Brown and George Zweifel, *Hydroboration. VII. Directive Effects in the Hydroboration of Olefins*, Journal of the American Chemical Society, 1960, vol. 82, n°17, pp. 4708–4712.
- [2] Herbert C. Brown and A. W. Moerikofer, *Hydroboration. X. Rates of Reaction of Bis-3-methyl-2-butylborane with Representative Cycloalkenes and Isomeric cis-trans Alkenes*, Journal of the American Chemical Society, 1961, vol. 83, n°16, pp. 3417–3422.
- [3] Herbert C. Brown and Richard L. Sharp, *Hydroboration. XXIV. Directive Effects in the Hydroboration of Some Substituted Styrenes*, Journal of the American Chemical Society, 1966, vol. 88, n°24, pp. 5851–5854.
- [4] George W. Kabalka, Ray J. Newton Jr. and John Jacobus, *Stereochemistry of the Hydroboration of Alkenes*, The Journal of Organic Chemistry, 1978, vol. 43, n°8, pp. 1567–1569.
- [5] Herbert C. Brown and Jackson C. Chen, *Hydroboration. 57. Hydroboration with 9-Borabicyclo[3.3.1]nonane of Alkenes Containing Representative Functional Groups*, The Journal of Organic Chemistry, 1981, vol. 46, n°20, pp. 3978–3988.
- [6] William G. Dauben, Imre Farkas, Dominique P. Bridon, Che Ping Chuang and Kevin E. Henegar, *Total Synthesis of (+/-)-Kempene-2*, Journal of the American Chemical Society, 1991, vol. 113, n°15, pp. 5883–5884.
- [7] Chris Ruehl, Connie Hou, Raul Lee and Lincoln Armstrong, *Design of a system of ethanolamine reactors*, Rice University, 1997.
- [8] Robert M. Silverstein, Clayton G. Basler, Terence C. Morill, *Identification spectrométrique de composés organiques*, De Boeck, 1998.
- [9] Nicolas Rabasso, *Chimie Organique – Hétéroéléments, Stratégie de Synthèse et Chimie Organométallique*, De Boeck, 2009.
- [10] Melanie Schubert and Peter Metz, *Enantioselective Total Synthesis of the Diterpenes Kempene-2, Kempene-1, and 3-epi-Kempene-1 from the Defense Secretion of Higher Termites*, Angewandte Chemie International Edition, 2011, vol. 50, n°13, pp. 2954–2956.

• • • FIN • • •